

**Sistemi Dinamici**  
**Corso di Laurea in Matematica**  
**Compito del 12-06-2019**

**Esercizio 1. (12 punti)** Si consideri il sistema

$$\begin{cases} \dot{x} = -\mu x(y-1) \\ \dot{y} = (x-1)y + \mu x \end{cases}$$

con il parametro  $\mu \in \mathbb{R} \setminus \{0\}$ . Disegnare un possibile ritratto di fase del sistema al variare di  $\mu$ .

**Esercizio 2. (8 punti)** Dato il sistema

$$\begin{cases} \dot{x} = y \\ \dot{y} = 4x^3 + 3x^5 - x^7 \end{cases}$$

- (i) mostrare che si tratta di un sistema meccanico di tipo Hamiltoniano, e trovare la Lagrangiana;
- (ii) studiare la stabilità dei punti critici;
- (iii) dire se esistono orbite illimitate.

**Esercizio 3. (10 punti)** Data la funzione  $f_a : [0, 1] \rightarrow [0, 1]$  definita da

$$f_a(x) = x^3 - ax(1-x)$$

con  $a \in [-2, 0]$ ,

- (i) trovare i punti fissi del sistema al variare del parametro  $a$ , e studiarne la stabilità;
- (ii) discutere l'esistenza di orbite periodiche.

## Svolgimento

**Esercizio 1.** Si consideri il sistema

$$\begin{cases} \dot{x} = -\mu x(y-1) \\ \dot{y} = (x-1)y + \mu x \end{cases}$$

con il parametro  $\mu \in \mathbb{R} \setminus \{0\}$ . Disegnare un possibile ritratto di fase del sistema al variare di  $\mu$ .

Cerchiamo innanzitutto i punti fissi del sistema al variare di  $\mu \neq 0$ . Si tratta delle soluzioni del sistema

$$\begin{cases} -\mu x(y-1) = 0 \\ (x-1)y + \mu x = 0 \end{cases}$$

Si ottengono due casi:

$\mu \neq -1$  - ci sono due punti fissi  $Q_1 = (0,0)$  e  $Q_2 = (\frac{1}{1+\mu}, 1)$ ;

$\mu = -1$  - c'è un solo punto fisso  $Q_1 = (0,0)$ .

Consideriamo prima il caso  $\mu \neq -1$ . La matrice Jacobiana del campo di vettori è data da

$$JF(x,y) = \begin{pmatrix} -\mu(y-1) & -\mu x \\ y + \mu & x - 1 \end{pmatrix}$$

e quindi:

$$JF(Q_1) = \begin{pmatrix} \mu & 0 \\ \mu & -1 \end{pmatrix}$$

con  $\det JF(Q_1) = -\mu$  e traccia  $JF(Q_1) = \mu - 1$ . Gli autovalori sono  $\lambda_1 = \mu$  con autovettore  $v_1 = (1,0)$ , e  $\lambda_2 = -1$  con autovettore  $v_2 = (0,1)$ .

$$JF(Q_2) = \begin{pmatrix} 0 & -\frac{\mu}{1+\mu} \\ 1 + \mu & -\frac{\mu}{1+\mu} \end{pmatrix}$$

con  $\det JF(Q_2) = \mu$  e traccia  $JF(Q_2) = -\frac{\mu}{1+\mu}$ . Possiamo determinare che gli autovalori sono complessi con parte immaginaria non nulla e parte reale negativa per  $\mu > 0$ , e sono reali e discordi per  $\mu < 0$ .

Quindi, studiando gli autovalori delle matrici troviamo le seguenti situazioni:

	$Q_1$	$Q_2$
$\mu > 0$	sella	fuoco attrattivo
$\mu \in (-1, 0)$	nodo attrattivo	sella
$\mu < -1$	nodo attrattivo	sella

Per disegnare il ritratto di fase è utile studiare il segno del campo vettoriale. Osserviamo inoltre che per ogni  $\mu$ , la retta  $\{x = 0\}$  è un insieme invariante.

Per quanto riguarda l'esistenza di orbite periodiche, possiamo usare l'indice di Poincaré per osservare innanzitutto che un'orbita periodica deve circondare necessariamente  $Q_1$  per  $\mu < 0$  o

$Q_2$  per  $\mu > 0$ . Poiché  $\{x = 0\}$  è un insieme invariante, non può esistere un'orbita che circonda  $Q_1$ . Mentre per quanto riguarda  $Q_2$  possiamo concludere che un'orbita periodica non può esistere usando il criterio di Dulac con  $\rho(x, y) = \frac{1}{xy}$ , e usando il segno del campo vettoriale sul semiasse positivo delle ascisse.

In conclusione ritroviamo i ritratti di fase di figura 1a, 1b e 2a.

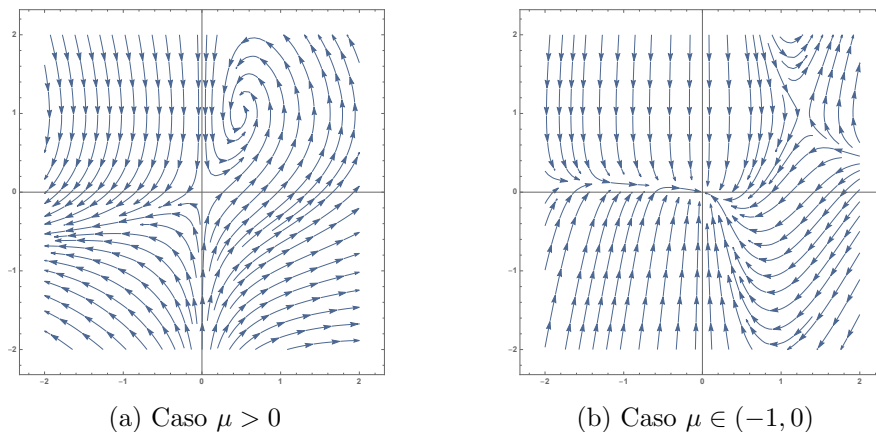


Figure 1

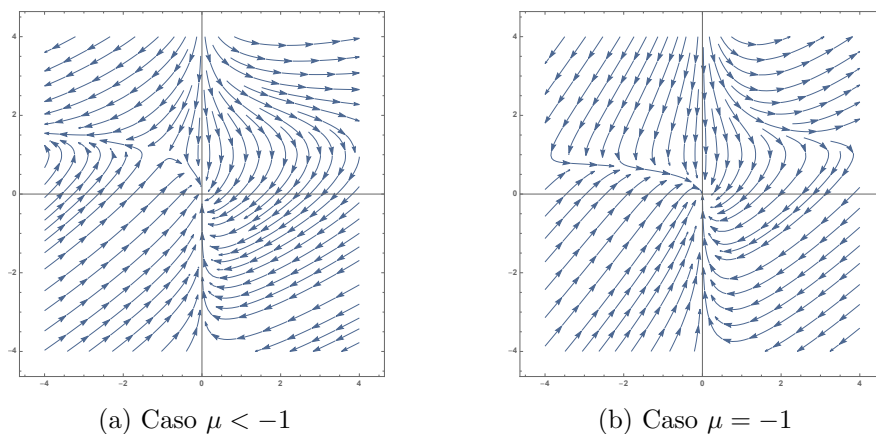


Figure 2

Veniamo ora al caso  $\mu = -1$ . In questo caso, l'unico punto fisso è  $Q_1$ , per cui

$$JF(Q_1) = \begin{pmatrix} -1 & 0 \\ -1 & -1 \end{pmatrix}$$

Il punto  $Q_1$  è quindi un nodo improprio attrattivo. Come nel caso precedente l'insieme  $\{x = 0\}$  è invariante, e non esistono orbite periodiche.

Otteniamo quindi il ritratto di fase della figura 2b.

**Esercizio 2.** Dato il sistema

$$\begin{cases} \dot{x} = y \\ \dot{y} = 4x^3 + 3x^5 - x^7 \end{cases}$$

(i) mostrare che si tratta di un sistema meccanico di tipo Hamiltoniano, e trovare la Lagrangiana;

Il sistema è di tipo Hamiltoniano se esiste una funzione  $H(x, y)$  tale che

$$\begin{cases} \dot{x} = y = \frac{\partial H}{\partial y}(x, y) \\ \dot{y} = 4x^3 + 3x^5 - x^7 = -\frac{\partial H}{\partial x}(x, y) \end{cases}$$

Si ottiene che

$$H(x, y) = \frac{1}{2}y^2 - x^4 - \frac{1}{2}x^6 + \frac{1}{8}x^8$$

che ha la forma  $H(x, y) = \frac{1}{2m}y^2 + V(x)$ , con  $m = 1$  e

$$V(x) = \frac{1}{8}x^8 - \frac{1}{2}x^6 - x^4$$

e dunque si tratta di un sistema meccanico.

La Lagrangiana allora possiamo scriverla direttamente come

$$L(x, \dot{x}) = \frac{m}{2} \dot{x}^2 - V(x) = \frac{1}{2} \dot{x}^2 + x^4 + \frac{1}{2}x^6 - \frac{1}{8}x^8$$

(ii) studiare la stabilità dei punti critici;

Essendo il sistema di tipo Hamiltoniano e autonomo, la funzione  $H(x, y)$  è un integrale primo. Quindi gli insiemi di livello di  $H$  sono insiemi invarianti, e i punti fissi del sistema verificano  $\nabla H(x, y) = 0$ , e corrispondono ai punti critici dell'energia potenziale  $V(x)$ . Otteniamo quindi

$$V'(x) = x^7 - 3x^5 - 4x^3 = x^3(x^4 - 3x^2 - 4) = 0 \quad \Leftrightarrow \quad x \in \{-2, 0, 2\}$$

La stabilità dei punti critici inoltre si ottiene classificando il punto critico di  $V$ . Osservando che  $V$  ha radici in  $0$  e  $\pm\sqrt{2 + \sqrt{12}}$ , e utilizzando il segno di  $V'(x)$ , otteniamo il grafico di  $V$  in figura 3.

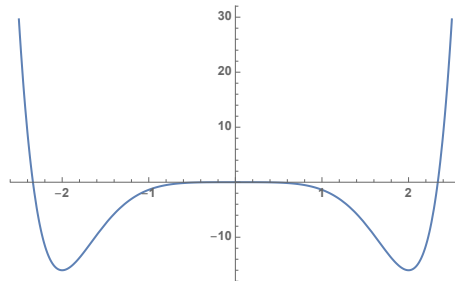


Figure 3: Il grafico di  $V(x)$ .

Se ne deduce che  $x = 0$  è un punto di massimo locale, a cui corrisponde il punto fisso  $P_1 = (0, 0)$  che è un punto di sella e quindi punto instabile, mentre  $x = \pm 2$  sono punti di minimo locale, a cui corrispondono i punti fissi  $P_2 = (-2, 0)$  e  $P_3 = (2, 0)$ , che sono centri e quindi punti stabili.

(iii) dire se esistono orbite illimitate.

Poiché la funzione Hamiltoniana è un integrale primo, un'orbita del sistema soddisfa

$$H(x(t), y(t)) = H(x(0), y(0)) \quad \forall t \in \mathbb{R}$$

Inoltre

$$\lim_{(x,y) \rightarrow \infty} H(x, y) = +\infty$$

Quindi se  $(x(t), y(t))$  fosse un'orbita illimitata si troverebbe un assurdo.

**Esercizio 3.** Data la funzione  $f_a : [0, 1] \rightarrow [0, 1]$  definita da

$$f_a(x) = x^3 - ax(1-x)$$

con  $a \in [-2, 0]$ ,

(i) trovare i punti fissi del sistema al variare del parametro  $a$ , e studiarne la stabilità;

Studiamo innanzitutto alcune proprietà del grafico di  $f_a$  in  $[0, 1]$ . Si ha  $f_a(0) = 0$  e  $f_a(1) = 1$  per ogni  $a$ , e inoltre

$$f'_a(x) = 3x^2 + 2ax - a > 0 \quad \forall x \in (0, 1]$$

se  $a \in [-2, 0]$ .

Abbiamo quindi ottenuto che  $x_1 = 0$  e  $x_2 = 1$  sono punti fissi, e inoltre la funzione è crescente in tutto l'intervallo  $[0, 1]$ . Altri punti fissi li otteniamo come soluzioni diverse da  $x_1$  e  $x_2$  dell'equazione

$$f_a(x) = x \Leftrightarrow x^3 - ax(1-x) = x \Leftrightarrow x(x-1)(x+a+1) = 0$$

Quindi esiste un terzo punto fisso  $x_3 = -(a+1)$  in  $(0, 1)$  se  $-1 < a+1 < 0$ , quindi se  $a \in (-2, -1)$ .

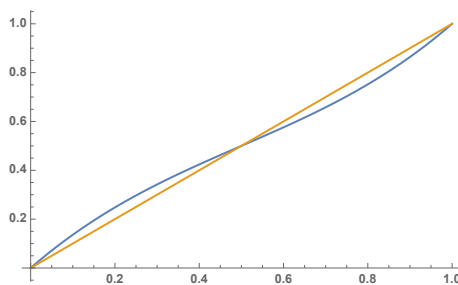


Figure 4: Il grafico di  $f_a$  per  $a = -\frac{3}{2}$ .

Passando allo studio della stabilità dei punti fissi trovati, calcoliamo il valore di  $f'_a$  nei punti fissi

$$f'_a(x_1) = -a, \quad f'_a(x_2) = 3 + a$$

e per  $a \in (-2, -1)$

$$f'_a(x_3) = a^2 + 3a + 3.$$

Consideriamo allora diversi intervalli di valori per  $a$ .

$-1 < a \leq 0$ . Abbiamo solo due punti fissi, e  $|f'_a(x_1)| < 1$  mentre  $|f'_a(x_2)| > 1$ . Quindi  $x_1$  è attrattivo e  $x_2$  è repulsivo;

$a = -1$ . In questo caso abbiamo ancora solo due punti fissi, e  $|f'_a(x_2)| > 1$ , quindi  $x_2$  è repulsivo. Mentre  $f'_a(x_1) = 1$ , quindi  $x_1$  non è iperbolico. Tuttavia dal grafico otteniamo  $f_a(x) < x$  per ogni  $x \in (0, 1)$  e quindi  $x_1$  è attrattivo da destra;

$-2 < a < -1$ . Abbiamo tre punti fissi, con  $|f'_a(x_1)| > 1$ ,  $|f'_a(x_2)| > 1$  e  $|f'_a(x_3)| < 1$ . Quindi  $x_1$  e  $x_2$  sono repulsivi, mentre  $x_3$  è attrattivo;

$a = -2$ . Abbiamo solo due punti fissi, e  $|f'_a(x_1)| > 1$ , quindi  $x_1$  è repulsivo. Mentre  $f'_a(x_2) = 1$ , quindi  $x_2$  non è iperbolico. Tuttavia dal grafico otteniamo  $f_a(x) > x$  per ogni  $x \in (0, 1)$  e quindi  $x_2$  è attrattivo da sinistra.

(ii) discutere l'esistenza di orbite periodiche.

Per  $a \in [-1, 0]$ , vale  $f(x) < x$  per ogni  $x \in (0, 1)$ , e quindi non possono esistere orbite periodiche di periodo minimo maggiore di uno. Infatti se  $x \in (0, 1)$  fosse un punto periodico di periodo minimo  $p > 1$  si dovrebbe avere

$$x = f^p(x) < f(f^{p-1}(x)) < \dots < f(x) < x$$

che è un assurdo.

Per  $a \in (-2, -1)$ , vale  $f(x) > x$  in  $(0, x_3)$  e  $f(x) < x$  in  $(x_3, 1)$ . Inoltre  $f((0, x_3)) = (0, x_3)$  e  $f((x_3, 1)) = (x_3, 1)$ , quindi possiamo ripetere l'argomento di sopra ai due intervalli separatamente, e mostrare che non possono esistere orbite periodiche di periodo minimo maggiore di uno.

Per  $a = -2$  si ha  $f(x) > x$  per ogni  $x \in (0, 1)$ , e di nuovo otteniamo che non possono esistere orbite periodiche di periodo minimo maggiore di uno.